

В. Г. Журавлев

## ИНФЛЯЦИЯ И ДЕФЛЯЦИЯ ЯДЕРНЫХ РАЗБИЕНИЙ

### ВВЕДЕНИЕ

Инфляцией

$$\mathcal{T} \xrightarrow{\nabla} \nabla\mathcal{T} \quad (0.1)$$

разбиения  $\mathcal{T}$  пространства  $\mathbb{R}^d$  называется такая подстановка образующих его фигур-тайлов, в результате которой получается новое, более крупное разбиение  $\nabla\mathcal{T}$  пространства  $\mathbb{R}^d$ . Дефляция, обратная к (0.1) операция,

$$\mathcal{T} \xrightarrow{\Delta} \Delta\mathcal{T}, \quad (0.2)$$

наоборот, – измельчает исходное разбиение  $\mathcal{T}$ . Наиболее изучены подстановки  $\Delta/\nabla$  вида (0.1), (0.2) для разбиений Пенроуза [1–3]. Исследования другого важного класса двумерных фрактальных разбиений Розы представлены в [4–7].

Цель данной статьи – определить подстановочные преобразования  $\Delta/\nabla$  для ядерных разбиений многомерных торов  $\mathbb{T}^d$  [8]. Такие разбиения  $\mathcal{T}(v)$  порождаются своими ядрами  $K\Gamma$ , остовами которых являются звезды  $v$  – множества из  $d + 1$  вектора. Ядерные разбиения  $\mathcal{T}(v)$  состоят из  $d + 1$  вида параллелепипедов  $T_k$  ( $k = 0, 1, \dots, d$ ). На рис. 2.1 показан пример двумерного ядерного разбиения  $\mathcal{T}(v)$  из 14 параллелограммов трех видов.

В частности, указанные выше разбиения Розы представляют собою пример ядерных разбиений из фрактальных многоугольников [9–11].

В теоремах 5.1 и 9.1 для ядерных разбиений  $\mathcal{T}(v)$  приведены подстановки  $\Delta/\nabla$  параллелепипедов (см. рис. 6.2 и 9.2)

$$T_k \xrightarrow{\Delta} \Delta T_k, \quad T_k \xrightarrow{\nabla} \nabla T_k, \quad (0.3)$$

преобразующие

$$\mathcal{T}(v) \xrightarrow{\Delta} \Delta\mathcal{T} = \mathcal{T}(v^\sigma), \quad \mathcal{T}(v) \xrightarrow{\nabla} \nabla\mathcal{T} = \mathcal{T}(v^t) \quad (0.4)$$

---

*Ключевые слова:* инфляция, дефляция, полиэдральные ядерные разбиения, многомерные цепные дроби.

разбиения  $\mathcal{T}(v)$  в новые ядерные разбиения  $\Delta\mathcal{T} = \mathcal{T}(v^\sigma)$  и  $\nabla\mathcal{T} = \mathcal{T}(v^\iota)$ , отвечающие производной  $v^\sigma$  и инфляционной  $v^\iota$  звездам соответственно. Подстановки (0.3) – суть косые сдвиги образующих разбиения параллелепипедов  $T_k$ . При дефляции  $\Delta$  сдвиги сжимающие, а при инфляции  $\nabla$  растягивающие. Операция дифференцирования звезд  $v^\sigma$  (0.4) впервые появилась в [8], обратная же операция инфляции звезд  $v^\iota$  введена в настоящей статье.

Название ядро, по-видимому, появилось впервые в [12] при изучении одномерных разбиений Фибоначчи. Однако роль ядер была осознана после открытия и исследования фрактального разбиения Розы [9], [10].

К построению ядерных разбиений произвольной размерности  $d$  ведут два пути: 1) метод дифференцирования индуцированных торических разбиений [8] и 2) метод локальных правил [13, 14].

В теории чисел интерес к разбиениям обусловлен их связями с многомерными цепными дробями [4, 5, 8, 15–18]. Исследуемые в статье подстановки (0.4) служат той же цели.

## §1. ЗВЕЗДЫ И ИХ ПРОИЗВОДНЫЕ

**1.1. Звезды.** Обозначим через  $\Sigma$  совокупность всех сочетаний  $\sigma$  из двух элементов  $\{k_1, k_2\}$  из множества индексов  $\mathcal{D} = \{0, 1, \dots, d\}$ . Пусть  $v_0, v_1, \dots, v_d$  – произвольные векторы из  $\mathbb{R}^d$  и  $\sigma' = \{k'_1, \dots, k'_{d-1}\} = \mathcal{D} \setminus \sigma$  – дополнительное к  $\sigma$  сочетание. Далее мы будем рассматривать неупорядоченные множества векторов

$$v = \{v_0, v_1, \dots, v_d\}. \quad (1.1)$$

**Определение 1.1.** Пусть любые  $d-1$  вектора из множества  $v$  линейно независимы, и пусть любые его два вектора  $v_{k_1}, v_{k_2}$  не принадлежат гиперплоскости  $H_{\sigma'}$ , порождаемой остальными векторами из  $v$ , и лежат по отношению к ней в разных полупространствах. Такое множество векторов  $v$  из (1.1) назовем звездой.

Непосредственно из определения звезды следует, что любые  $d$  вектора из (1.1) линейно независимы.

**Критерий 1.1.** Обозначим через

$$\Delta(v) = \{\lambda_0 v_0 + \dots + \lambda_d v_d; \lambda_0 + \dots + \lambda_d \leq 1, \lambda_0, \dots, \lambda_d \geq 0\}, \quad (1.2)$$

где коэффициенты  $\lambda_0, \dots, \lambda_d \in \mathbb{R}$ , натянутый на векторы звезды  $v$  симплекс, и пусть  $\Delta^{\text{int}}(v)$  – внутренняя часть симплекса (1.2). Тогда

условие на множество векторов  $v$  быть звездой равносильно условию  $\mathbf{0} \in \Delta^{\text{int}}(v)$  для точки  $\mathbf{0} = (0, 0, \dots, 0)$  – центра звезды  $v$ .

**1.2. Производные звезды.** Далее мы будем использовать обозначения

$$X = X_1 \sqcup X_2, \quad X = X_1 \cup X_2 \quad (1.3)$$

для *строгого (дизъюнктивного) и нестрогого разбиений* множества  $X$  в случае, если  $X_1 \cap X_2 = \emptyset$  и  $X_1^{\text{int}} \cap X_2^{\text{int}} = \emptyset$  соответственно, где  $X_k^{\text{int}}$  – множество внутренних точек из  $X_k$ .

Предположим, что для некоторого сочетания  $\sigma = \{k_1, k_2\}$  из  $\Sigma$  сумма векторов  $v_\sigma = v_{k_1} + v_{k_2}$  звезды  $v = \{v_0, v_1, \dots, v_d\}$  не принадлежит

$$v_\sigma \notin H_{\sigma'} \quad (1.4)$$

гиперплоскости  $H_{\sigma'}$ , проходящей через оставшиеся  $d-1$  векторы звезды  $v$  с индексами из дополнения  $\sigma'$  к сочетанию  $\sigma$ . При этом условии, только одно из множеств

$$v(\sigma) \sqcup v(\sigma') \quad (1.5)$$

будет звездой (1.1). Здесь

$$v(\sigma) = \{v_{k_1}, v_\sigma\} \quad \text{или} \quad v(\sigma) = \{v_\sigma, v_{k_2}\} \quad (1.6)$$

в зависимости от того, какие из пар векторов  $v_{k_1}, v_\sigma$  или  $v_{k_2}, v_\sigma$  принадлежат разным полупространствам  $H_{\sigma'}^\pm$ , и  $v(\sigma')$  – дополнительное для  $v(\sigma)$  множество векторов из звезды  $v$ .

Заметим, что однозначность выбора множества  $v(\sigma)$  в (1.6) гарантирована ограничением (1.4) на сумму векторов  $v_\sigma = v_{k_1} + v_{k_2}$ .

**Определение 1.2.** Обозначим через  $v^\sigma = v(\sigma) \sqcup v(\sigma')$  то множество векторов из (1.5), которое является звездой. Если существуют звезды  $v^\sigma$  для всех сочетаний  $\sigma \in \Sigma$ , то будем говорить, что звезда  $v = \{v_0, v_1, \dots, v_d\}$  невырождена.

Таким образом, согласно определению 1.2 для всех сочетаний  $\sigma = \{k_1, k_2\}$  из  $\Sigma$  на множестве невырожденных звезд  $v = \{v_0, v_1, \dots, v_d\}$  определено отображение

$$v \xrightarrow{\sigma} v^\sigma = \{v_0^\sigma, v_1^\sigma, \dots, v_d^\sigma\}, \quad (1.7)$$

где  $v_{k_1}^\sigma = v_{k_1}$ ,  $v_{k_2}^\sigma = v_\sigma$  или  $v_{k_1}^\sigma = v_\sigma$ ,  $v_{k_2}^\sigma = v_{k_2}$  в зависимости от выполнения условия из (1.6) и  $v_{k'}^\sigma = v_{k'}$  для всех  $k' \in \sigma'$ . Звезду  $v^\sigma$  из (1.7) назовем  $\sigma$ -производной невырожденной звезды  $v$ .

## §2. ИНДУЦИРОВАННЫЕ РАЗБИЕНИЯ ТОРА

**2.1. Перекладывающиеся развертки тора.** Пусть

$$L' = \mathbb{Z}[l'_1, \dots, l'_d] \quad (2.1)$$

– полная решетка в пространстве  $\mathbb{R}^d$  с базисом  $l'_1, \dots, l'_d$ , т.е. векторы  $l_1, \dots, l_d$  линейно независимы на поле вещественных чисел  $\mathbb{R}$ ; и пусть  $T$  – некоторое подмножество из  $\mathbb{R}^d$ . Будем говорить, что  $T$  является *разверткой тора*  $\mathbb{T}_{L'}^d = \mathbb{R}^d/L'$ , если отображение

$$T \xrightarrow{\sim} \mathbb{T}_{L'}^d : x \mapsto x \bmod L'$$

– биекция. Развертка  $T$  называется *перекладывающейся*, если задано ее разбиение

$$T = T_0 \sqcup T_1 \sqcup \dots \sqcup T_d \quad (2.2)$$

и перекладывание

$$T \xrightarrow{S'} T : S'(x) = x + v_{\text{col}(x)} \quad (2.3)$$

на векторы  $v_0, v_1, \dots, v_d$ , связанные с базисом (2.1) решетки  $L'$  равенствами

$$l'_k = v_k - v_0 \quad \text{для } k = 1, \dots, d. \quad (2.4)$$

В (2.3) использовано обозначение  $\text{col}(x) = k$  для *цвета* точек  $x$ , принадлежащих подмножеству  $T_k$  из разбиения (2.2),  $k = 0, 1, \dots, d$ .

Заметим, что при переходе (2.4) от векторов перекладывания  $v_0, v_1, \dots, v_d$  к базису  $l'_1, \dots, l'_d$  решетки  $L'$  нарушается симметрия, когда выделяется вектор  $v_0$ . Удобно дать ему дополнительное обозначение

$$v_0 = \alpha'. \quad (2.5)$$

В частности, из (2.4) и (2.5) вытекают сравнения  $v_k \equiv \alpha' \bmod L'$  для всех  $k = 0, 1, \dots, d$ . Поэтому перекладывание (2.3) эквивалентно сдвигу тора  $S' = S'_{\alpha'}$  на вектор  $\alpha' \bmod L'$ ,

$$T \xrightarrow{S'} T : S'(x) \equiv x + \alpha' \bmod L'. \quad (2.6)$$

**2.2. Перекладывающиеся параллелоэдры.** Определим для  $m = 0, 1, \dots, d$  замкнутые  $d$ -мерные параллелепипеды

$$\bar{T}_m = \{\lambda_{k_1} v_{k_1} + \dots + \lambda_{k_d} v_{k_d}; 0 \leq \lambda_{k_i} \leq 1\}, \quad (2.7)$$

где  $k_1, \dots, k_d$  – дополнительные к  $m$  индексы в  $\mathcal{D}$ . Если множество векторов  $v = \{v_0, v_1, \dots, v_d\}$  является звездой (1.7), то объединение

$$\bar{T} = \bar{T}_0 \cup \bar{T}_1 \cup \dots \cup \bar{T}_d \quad (2.8)$$

параллелепипедов (2.7) образует *параллелоэдр* [19], [20] – многогранник, разбивающий пространство

$$\mathbb{R}^d = \bigcup_{l' \in L'} \bar{T}[l'] \quad (2.9)$$

с помощью параллельных переносов  $\bar{T}[l'] = \bar{T} + l'$  на векторы  $l'$  решетки  $L'$ . Причем различные многогранники  $\bar{T}[l']$  из (2.9) не имеют общих внутренних точек. Здесь и далее будем пользоваться соглашением (1.3).

Для  $d = 2$  параллелоэдр  $\bar{T}$  из (2.8) является выпуклым шестиугольником с попарно равными и параллельными сторонами, для  $d = 3$  – ромбододекаэдром Федорова [21], а для  $d = 4$  – параллелоэдром Вороного [22].

По *i-алгоритму* из [19] вершины, ребра и грани параллелепипедов  $\bar{T}_m$  можно распределить между собою так, чтобы получалось разбиение  $T = T_0 \sqcup T_1 \sqcup \dots \sqcup T_d$ , имеющее внутреннюю часть  $T^{\text{int}} = (\bar{T})^{\text{int}}$  такую же, как и параллелоэдр (2.8), и разбивающее пространство

$$\mathbb{R}^d = \prod_{l' \in L'} T[l'] \quad (2.10)$$

в строгом смысле (1.3), т.е. в (2.10) многогранники  $T[l'] \cap T[l''] = \emptyset$ , если  $l' \neq l''$ . Существование разбиения (2.10) равносильно условию незамкнутому параллелоэдру  $T$  быть разверткой тора  $\mathbb{T}_{L'}^d = \mathbb{R}^d/L'$ .

Исходя из *i-алгоритма*, можно считать, что выполняются условия

$$0 \in T_0, \quad v_0 \in T_1, \quad v_0 + v_1 \in T_2, \quad \dots \quad v_0 + v_1 + \dots + v_{d-1} \in T_d. \quad (2.11)$$

Если дополнительно предположить выполненными условия (2.11), то в результате каждой звезде  $v = \{v_0, v_1, \dots, v_d\}$  ставится в соответствие *перекладывающийся параллелоэдр*

$$T = T(v) = T_0 \sqcup T_1 \sqcup \dots \sqcup T_d, \quad (2.12)$$

являющийся разверткой тора  $\mathbb{T}_{L'}^d$ , с векторами перекладывания  $v_0, v_1, \dots, v_d$  в (2.3).

**2.3. Вмещающее пространство.** Кроме тора  $\mathbb{T}_{L'}^d$ , нам потребуется еще один тор  $\mathbb{T}_L^d = \mathbb{R}^d/L$  для другой полной решетки  $L \subset \mathbb{R}^d$ . Зададим сдвиг  $S = S_\alpha$  тора  $\mathbb{T}_L^d$  на вектор  $\alpha \in \mathbb{R}^d$ , полагая

$$\mathbb{T}_L^d \xrightarrow{S} \mathbb{T}_L^d : \quad x \mapsto S(x) \equiv x + \alpha \pmod{L}. \quad (2.13)$$

Далее торы  $\mathbb{T}_L^d$  будут использоваться, как вмещающие пространства для вложений различных торов  $\mathbb{T}_{L'}^d$ , с изменяющимися решетками  $L'$ .

#### 2.4. Вкладывающиеся в тор развертки.

**Определение 2.1.** Перекладывающаяся развертка  $T$  из (2.2) *вкладывается*

$$T \xrightarrow{\text{em}} \mathbb{T}_L^d \quad (2.14)$$

в тор  $\mathbb{T}_L^d$  относительно сдвига  $S = S_\alpha$ , если выполняются следующие условия.

1. Подмножество  $T \subset \mathbb{R}^d$  является *L-различимым*, т.е. для любых элементов  $x, y$  из  $T$ , связанных сравнением  $x \equiv y \pmod{L}$ , следует их равенство  $x = y$ . Значит, отображение

$$T \xrightarrow{\sim} T \pmod{L} : x \mapsto x \pmod{L} \quad (2.15)$$

будет взаимно однозначным; и поэтому используя отображение (2.15) можем считать развертку  $T$  вложенной как множество в тор  $\mathbb{T}_L^d$ ,

$$T \subset \mathbb{T}_L^d. \quad (2.16)$$

2. Векторы перекладывания (2.3) имеют вид

$$v_k \equiv m_k \alpha \pmod{L} \quad (2.17)$$

для всех  $k = 0, 1, \dots, d$  с некоторыми коэффициентами  $m_k = 1, 2, 3, \dots$ , называемыми *порядками* векторов  $v_k$ .

3. Пусть

$$\text{Orb}^+(T_k) = \{S^j(T_k); j = 1, \dots, m_k - 1\} \quad (2.18)$$

обозначает *орбиту* подмножества  $T_k \subset T$ . В силу включения (2.16) будем полагать  $\text{Orb}_k^+ \subseteq \mathbb{T}_L^d$ . Тогда по определению считается, что орбиты (2.18) удовлетворяют условию  $\text{Orb}^+(T_k) \cap T = \emptyset$  для  $k = 0, 1, \dots, d$ .

Чтобы сформулировать следующий результат, нам потребуется в дополнение к (2.18) определить еще *полные орбиты*

$$\text{Orb}(T_k) = \{S^j(T_k); j = 0, 1, \dots, m_k - 1\}. \quad (2.19)$$

Кроме того, будем предполагать вектор сдвига  $\alpha = (\alpha_1, \dots, \alpha_d)$  из (2.13) *иррациональным*, т.е.

$$\text{числа } 1, \alpha_1, \dots, \alpha_d \text{ линейно независимы над кольцом } \mathbb{Z}. \quad (2.20)$$

Здесь  $\alpha_k$  – координаты  $\alpha$  в некотором базисе полной решетки  $L$ .

**Теорема 2.1.** Пусть развертка  $T$  вкладывается (2.14) в тор  $\mathbb{T}_L^d$ , развертка  $T$  имеет внутреннюю точку, и пусть вектор  $\alpha$  для сдвига  $S = S_\alpha$  из (2.13) будет иррациональным (2.20). Тогда выполняются следующие утверждения.

1. Множества из полных орбит  $\text{Orb}(T_k)$  не пересекаются, т.е.

$$S^{j_1}(T_{k_1}) \cap S^{j_2}(T_{k_2}) \neq \emptyset$$

только при условии  $j_1 = j_2$  и  $k_1 = k_2$ .

2. Имеет место разбиение тора  $\mathbb{T}_L^d$ :

$$\mathcal{T} = \mathcal{T}_0 \sqcup \mathcal{T}_1 \sqcup \dots \sqcup \mathcal{T}_d, \quad (2.21)$$

где

$$\mathcal{T}_k = T_k \sqcup S^1(T_k) \sqcup \dots \sqcup S^{m_k-1}(T_k)$$

– орбитное разбиение, составленное из множеств, входящих в полную орбиту  $\text{Orb}(T_k)$  из (2.19).

**Доказательство.** См. [8]. □

Сумма порядков

$$m = m_0 + m_1 + \dots + m_d \quad (2.22)$$

всех векторов  $v_k$  из (2.17) называется *порядком* разбиения тора  $\mathcal{T}$ .

**2.5. Индуцированные отображения и ядро разбиения.** Из теоремы 2.1 следует, что сдвиг тора  $S' : T \rightarrow T$  из (2.6) является *индуцированным отображением* или иначе – отображением первого возвращения, отображением Пуанкаре – для сдвига тора  $S : \mathbb{T}_L^d \rightarrow \mathbb{T}_L^d$  из (2.13), что символически будем записывать в виде равенства

$$S' = S|_T.$$

Обозначим

$$T = T(v), \quad \mathcal{T} = \mathcal{T}(v) = \mathcal{T}_0 \sqcup \mathcal{T}_1 \sqcup \dots \sqcup \mathcal{T}_d \quad (2.23)$$

соответственно развертку  $T$  из (2.2) и *индуцированное разбиение* (2.21) тора  $\mathbb{T}_L^d$ , порождаемое вкладывающейся в тор  $T \xrightarrow{\text{em}} \mathbb{T}_L^d$  разверткой  $T$ .

Множество  $T$  по отношению ко всему разбиению тора  $\mathcal{T}$  называется (ср. [10]) *ядром (kernel)* разбиения  $\mathcal{T}$ . Чтобы указывать на такую связь между  $T$  и  $\mathcal{T}$  используется обозначение

$$T = \text{Kr} = \text{Kr}(\mathcal{T}). \quad (2.24)$$

Ядро  $K\Gamma$  характеризуется следующим свойством: ядро – это такое подмножество  $K\Gamma \subset \mathbb{T}_L^D$ , для которого отображение первого возвращения

$$S' = S|_{K\Gamma}, \quad (2.25)$$

индуцированное сдвигом тора  $S = S_\alpha$  из (2.13), эквивалентно перекладыванию  $D + 1$  подмножеств из разбиения

$$K\Gamma = K\Gamma_0 \sqcup K\Gamma_1 \sqcup \dots \sqcup K\Gamma_D. \quad (2.26)$$

В определении  $K\Gamma$  важно, что количество областей в разбиении (2.26) на единицу больше размерности вмещающего его тора  $\mathbb{T}_L^D$ . Отсюда, в частности, следует, что  $K\Gamma$  является разверткой некоторого тора  $\mathbb{T}_{L'}^D$ , а индуцированное отображение (2.25) изоморфно сдвигу этого тора.

Поскольку определенное в (2.21) разбиение  $\mathcal{T}$  порождается вкладывающимися в тор  $T \xrightarrow{\text{em}} \mathbb{T}_L^d$  ядром  $T = K\Gamma$  из (2.24), то оно называется *ядерным разбиением* тора  $\mathbb{T}_L^d$ .

## 2.6. Критерий вложимости развертки тора.

**Теорема 2.2.** *Определенная в (2.12) развертка тора  $T = T(v)$  вкладывается (2.14) в тор  $T \xrightarrow{\text{em}} \mathbb{T}_L^d$  тогда и только тогда, когда выполняется одно из следующих двух эквивалентных утверждений:*

1) множество  $\mathcal{T} = \mathcal{T}(v) = \mathcal{T}_0 \sqcup \mathcal{T}_1 \sqcup \dots \sqcup \mathcal{T}_d$  из (2.23) является разбиением тора  $\mathbb{T}_L^d$ ;

2) внутренняя часть  $T^{\text{int}}$  развертки  $T \subset \mathbb{T}_L^d$  не содержит ни одной из точек  $x_j$  орбиты

$$\text{Orb}^+(0, m) = \{x_j = S^j(0); j = 1, 2, \dots, m - 1\}$$

порядка  $m$ , определенного в (2.22).

**Доказательство.** См. [8]. □

Чтобы не вводить новые термины, число  $m$  из (2.22) будем также называть и *порядком* развертки тора  $T = T(v)$ . Саму развертку  $T = T(v)$  и порождающую ее звезду  $v$  назовем *минимальными*, если выполняется условие 2) из теоремы 2.2.

## 2.7. Производные вкладывающихся звезд.

**Определение 2.2.** Пусть  $v = \{v_0, v_1, \dots, v_d\}$  – звезда и  $T = T(v)$  – отвечающая ей развертка (2.23) тора  $\mathbb{T}_L^d$ , с векторами перекладывания  $v_0, v_1, \dots, v_d$ . Если данная развертка  $T$  вкладывается  $T \xrightarrow{\text{em}} \mathbb{T}_L^d$  в тор  $\mathbb{T}_L^d$



относительно некоторого сдвига  $S = S_\alpha$ , то будем говорить, что звезда  $v$  вкладывается

$$v \xrightarrow{\text{em}} \mathbb{T}_L^d \quad (2.27)$$

в тор  $\mathbb{T}_L^d$  относительно сдвига  $S$ .

**Теорема 2.3.** Пусть невырожденная звезда  $v = \{v_0, v_1, \dots, v_d\}$  вкладывается (2.27) в тор  $\mathbb{T}_L^d$  относительно сдвига  $S = S_\alpha$  с иррациональным (2.20) вектором  $\alpha$ . Тогда любая ее  $\sigma$ -производная  $v^\sigma = \{v_0^\sigma, v_1^\sigma, \dots, v_d^\sigma\}$  для  $\sigma \in \Sigma$  также вкладывается

$$v^\sigma \xrightarrow{\text{em}} \mathbb{T}_L^d \quad (2.28)$$

в тот же тор  $\mathbb{T}_L^d$  относительно сдвига  $S$ .

**Доказательство.** См. [8]. □

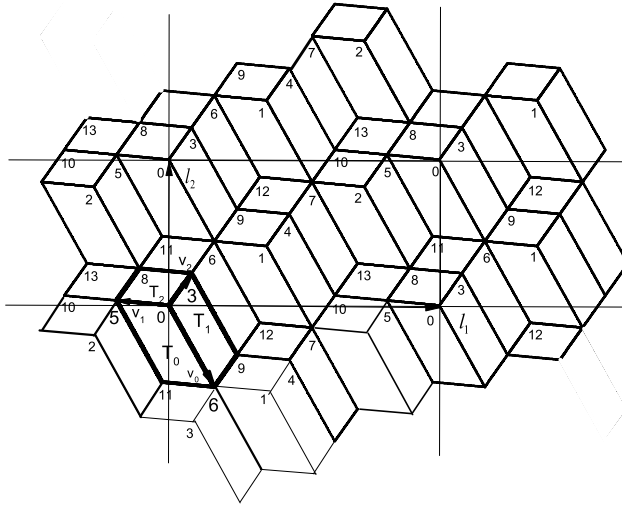


Рис. 2.1. Двумерное ядерное разбиение  $\mathcal{T}$  порядка  $m = 14$ .

**2.8. Двумерное ядерное разбиение.** На рис. 2.1 показано двумерное ядерное разбиение  $\mathcal{T} = \mathcal{T}(v)$  с ядром  $T = T(v) = T_0 \sqcup T_1 \sqcup T_2$ , построенным по звезде  $v = \{v_0, v_1, v_2\}$ . Ее лучи  $v_0, v_1, v_2$  имеют порядки  $m_0 = 6, m_1 = 5, m_2 = 3$ .

Векторы  $l_1, l_2$  образуют базис решетки  $L = \mathbb{Z}[l_1, l_2]$  периодов разбиения  $\mathcal{T}$ . По данной решетке строится двумерный тор  $\mathbb{T}_L^2 = \mathbb{Z}^2/L$ , который разбиение  $\mathcal{T}$  делит на  $m = m_0 + m_1 + m_2 = 14$  параллелограммов.

### §3. ДЕФЛЯЦИЯ. ОСНОВНЫЕ ОПРЕДЕЛЕНИЯ

**3.1. Лучи.** Пусть  $\mathcal{D} = \{0, 1, \dots, d\}$  – множество индексов из  $d + 1$  элемента;  $\sigma = \{0, 1\}$  – сочетание из двух *фиксированных элементов*  $0, 1$ ;  $\sigma' = \mathcal{D} \setminus \sigma$  – дополнение  $\sigma$  в  $\mathcal{D}$  из  $d' = d - 1$  элемента и  $\sigma'' \subset \sigma'$  – любое множество из  $d'' = d - 2$  элементов.

Определим следующие лучи:

$v_0, v_1$  – *связанные лучи*, это лучи звезды  $v = \{v_0, v_1, \dots, v_d\}$ , отвечающие сочетанию  $\sigma$ ;

$v_0$  – *исчезающий луч*;

$v_1$  – *остающийся луч* (доминантный луч);

$v_k$  для  $k \in \sigma'$  – *свободные лучи*;

$v_0 = v_0 + v_1$  – *новый луч* производной звезды  $v^\sigma = \{v_0, v_1, \dots, v_d\}$ .

**3.2. Параллелепипеды.** Для  $k = 0, 1, \dots, d$ , определим замкнутые  $d$ -мерные *параллелепипеды*

$$T_k = \{\lambda_{k_1} v_{k_1} + \dots + \lambda_{k_d} v_{k_d}; 0 \leq \lambda_{k_i} \leq 1\}, \quad (3.1)$$

где  $k_1, \dots, k_d$  – индексы из дополнения  $\mathcal{D}_k = \mathcal{D} \setminus \{k\}$ . Множество лучей  $v_{k_1}, \dots, v_{k_d}$  назовем *остовом* параллелепипеда  $T_k$ .

**3.3. Ядро.** Если множество векторов  $v = \{v_0, v_1, \dots, v_d\}$  является звездой (1.1), то объединение

$$T = T_0 \cup T_1 \cup \dots \cup T_d \quad (3.2)$$

параллелепипедов (3.1) образует *ядро*.

**3.4. Производное ядро.** Пусть

$$v^\sigma = \{v_0^\sigma, v_1^\sigma, \dots, v_d^\sigma\} \quad (3.3)$$

– производная звезда (1.7) для произвольного  $\sigma \subset \mathcal{D}$ . Определим *производное ядро*

$$T^\sigma = T_0^\sigma \cup T_1^\sigma \cup \dots \cup T_d^\sigma, \quad (3.4)$$

составленное из производных параллелепипедов

$$T_k^\sigma = \{\lambda_{k_1} v_{k_1}^\sigma + \dots + \lambda_{k_d} v_{k_d}^\sigma; 0 \leq \lambda_{k_i} \leq 1\},$$

аналогичных параллелепипедам (3.1). По условию, луч  $v_0$  исчезающий, а луч  $v_1$  остающийся, т.е. является доминантным лучом. Поэтому, согласно определению (1.7), производная звезда (3.3) с  $\sigma = \{0, 1\}$  примет вид

$$v^\sigma = \{v_0^\sigma, v_1^\sigma, \dots, v_d^\sigma\} = \{v_0 + v_1, v_1, \dots, v_d\}. \quad (3.5)$$

**3.5. Производные параллелепипеды.** Опишем параллелепипеды из производного ядра  $T^\sigma$  (3.4) для  $\sigma = \{0, 1\}$ .

$T_{\sigma', 1}^\sigma$  – параллелепипед с остовом  $v_{\sigma', 1} = \{v_{\sigma'}, v_1\}$ ;

$T_{\sigma', 0}^\sigma$  – параллелепипед с остовом  $v_{\sigma', 0} = \{v_{\sigma'}, v_0\}$ , где  $v_{\sigma'}$  – множество лучей  $v_k$  с индексами  $k \in \sigma'$ ;

$T_{\sigma'', 0, 1}^\sigma$  – параллелепипеды с остовами  $v_{\sigma'', 0, 1} = \{v_{\sigma''}, v_0, v_1\}$ , где  $v_{\sigma''}$  – множество лучей  $v_k$  с индексами  $k \in \sigma''$ , при этом  $\sigma''$  пробегает все  $(d-2)$ -подмножества из  $\sigma'$ . Последних параллелепипедов  $d-1$ .

Характеристики производных параллелепипедов:

$T_0^\sigma = T_{\sigma', 1}^\sigma$  – неменяющийся параллелепипед;

$T_1^\sigma = T_{\sigma', 0}^\sigma$  – *компенсирующий* параллелепипед с уменьшенным объемом;

$T_k^\sigma = T_{\sigma'', 0, 1}^\sigma$  – *деформирующиеся* параллелепипеды, сохраняющие объем.

**3.6. Исходные параллелепипеды. Новые обозначения.** Теперь опишем параллелепипеды исходного ядра  $T$  (3.2). Всего параллелепипедов  $d+1$ . Они делятся на *три типа*:

$T_0 = T_{\sigma', 1}$  – параллелепипед с остовом  $\{v_{\sigma'}, v_1\}$ ;

$T_1 = T_{\sigma', 0}$  – параллелепипед с остовом  $\{v_{\sigma'}, v_0\}$ ;

$T_k = T_{\sigma'', 0, 1}$ , где  $k \in \sigma' = \mathcal{D} \setminus \sigma$  (т.е.  $k \neq 0, 1$ ) – параллелепипеды с остовами  $\{v_{\sigma''}, v_0, v_1\}$ .

**3.7. Подстановки.** Зададим  $\Delta$  – подстановку (substitution), действующую на параллелепипеды  $T_0$ ,  $T_1$  и  $T_k$  ( $k \neq 0, 1$ ) соответственно специализациями  $\Delta_0$ ,  $\Delta_1$  и  $\Delta_k$ :

$$T_0 = T_{\sigma', 1} \xrightarrow{\Delta_0} T_{\sigma', 1}, \quad (3.6)$$

$$T_1 = T_{\sigma',0} \xrightarrow{\Delta_1} T_{\sigma',\mathbf{0}} \cup (T_0 + v_0), \quad (3.7)$$

$$T_k = T_{\sigma'',0,1} \xrightarrow{\Delta_k} T_{\sigma'',\mathbf{0},1}. \quad (3.8)$$

#### §4. ОРБИТЫ РАЗБИЕНИЙ

**4.1. Орбиты исходного разбиения.** Для полных орбит (2.19) введем расширенное обозначение

$$\text{Orb}(T_k)^{m_k} = \{S^j(T_k); j = 0, 1, \dots, m_k - 1\},$$

где  $T_k$  – замкнутые параллелепипеды (3.1). Тогда разбиение (2.21) тора  $\mathbb{T}_L^d$  переписется в виде

$$\mathcal{T} = \text{Orb}(T_0)^{m_0} \cup \text{Orb}(T_1)^{m_1} \cup \dots \cup \text{Orb}(T_d)^{m_d}, \quad (4.1)$$

при этом

$$S^j(T_k)^{\text{int}} \cap S^{j'}(T_{k'})^{\text{int}} = \emptyset \quad (4.2)$$

с индексами  $(j, k) \neq (j', k')$ . Разбиение  $\mathcal{T}$  состоит из  $m_k > 0$  параллелепипедов типа  $T_k$  ( $k = 0, 1, \dots, d$ ). Число параллелепипедов разных типов  $m = m_0 + m_1 + \dots + m_d$  равно порядку (2.22) разбиения  $\mathcal{T}$ . Любые два из  $m$  указанных параллелепипедов не имеют общих внутренних точек (4.2).

Итак, если развертка  $T = T(v) = T_0 \cup T_1 \cup \dots \cup T_d$  вкладывается

$$T = T(v) \xrightarrow{\text{em}} \mathbb{T}_L^d \quad (4.3)$$

в тор  $\mathbb{T}_L^d$  и задан *весовой вектор*

$$\mathbf{m} = (m_0, m_1, \dots, m_d), \quad (4.4)$$

то по вложению (4.3) и вектору  $\mathbf{m}$  можно построить индуцированное ядерное разбиение тора  $\mathcal{T}$  (4.1).

**4.2. Орбиты производного разбиения.** Если звезда  $v$  невырожденная, то по теореме 2.3 любая производная развертка  $T^\sigma = T(v^\sigma) = T_0^\sigma \cup T_1^\sigma \cup \dots \cup T_d^\sigma$  снова вкладывается  $T^\sigma = T(v^\sigma) \xrightarrow{\text{em}} \mathbb{T}_L^d$  в тот же тор  $\mathbb{T}_L^d$ , но уже с *производным* весовым вектором

$$\mathbf{m}^\sigma = (m_0^\sigma, m_1^\sigma, \dots, m_d^\sigma) = (m_0 + m_1, m_1, \dots, m_d) \quad (4.5)$$

для  $\sigma = \{0, 1\}$  в согласии с формулой производной звезды (3.5). Поэтому существует производное разбиение

$$\mathcal{T}^\sigma = \text{Orb}(T_0^\sigma)^{m_0^\sigma} \cup \text{Orb}(T_1^\sigma)^{m_1^\sigma} \cup \dots \cup \text{Orb}(T_d^\sigma)^{m_d^\sigma} \quad (4.6)$$

тора  $\mathbb{T}_L^d$  с разложением на орбиты

$$\text{Orb}(T_k^\sigma)^{m_k^\sigma} = \{S^j(T_k^\sigma); j = 0, 1, \dots, m_k^\sigma - 1\}.$$

Производное разбиение  $\mathcal{T}^\sigma$  состоит из  $m_k^\sigma > 0$  параллелепипедов типа  $T_k^\sigma$  ( $k = 0, 1, \dots, d$ ). В силу (4.5), в разбиении (4.6) параллелепипедов разных типов

$$m^\sigma = m_0^\sigma + m_1^\sigma + \dots + m_d^\sigma = m + m_0.$$

**4.3. Типы орбит исходного разбиения.** Перечислим эти типы:

$$\text{Orb}(T_0)^{m_0} = \text{Orb}(T_{\sigma',1})^{m_0} = \{S^j(T_{\sigma',1}); j = 0, 1, \dots, m_0 - 1\}, \quad (4.7)$$

$$\text{Orb}(T_1)^{m_1} = \text{Orb}(T_{\sigma',0})^{m_1} = \{S^j(T_{\sigma',0}); j = 0, 1, \dots, m_1 - 1\}, \quad (4.8)$$

$$\text{Orb}(T_k)^{m_k} = \text{Orb}(T_{\sigma'',0,1})^{m_k} = \{S^j(T_{\sigma'',0,1}); j = 0, 1, \dots, m_k - 1\}, \quad (4.9)$$

для всех  $k \neq 0, 1$ .

**4.4. Типы орбит производного разбиения.** Перечислим указанные типы:

$$\text{Orb}(T_0^\sigma)^{m_0^\sigma} = \text{Orb}(T_{\sigma',1})^{m_0^\sigma} = \{S^j(T_{\sigma',1}); j = 0, 1, \dots, m_0^\sigma - 1\}, \quad (4.10)$$

$$\text{Orb}(T_1^\sigma)^{m_1^\sigma} = \text{Orb}(T_{\sigma',0})^{m_1^\sigma} = \{S^j(T_{\sigma',0}); j = 0, 1, \dots, m_1^\sigma - 1\},$$

$$\text{Orb}(T_k^\sigma)^{m_k^\sigma} = \text{Orb}(T_{\sigma'',0,1})^{m_k^\sigma} = \{S^j(T_{\sigma'',0,1}); j = 0, 1, \dots, m_k^\sigma - 1\},$$

для всех  $k \neq 0, 1$ .

## §5. ПОДСТАНОВКИ

**5.1. Подстановки орбит.** Используя (4.7), (3.6), затем (4.8), (3.7) и (4.9), (3.8) определим подстановки

$$\text{Orb}(T_0)^{m_0} = \text{Orb}(T_{\sigma',1})^{m_0} \xrightarrow{\Delta_0} \text{Orb}(T_0)^{m_0} = \text{Orb}(T_{\sigma',1})^{m_0},$$

$$\text{Orb}(T_1)^{m_1} = \text{Orb}(T_{\sigma',0})^{m_1} \xrightarrow{\Delta_1} \text{Orb}(T_{\sigma',0})^{m_1} \cup \text{Orb}(T_0 + v_0)^{m_1},$$

$$\text{Orb}(T_k)^{m_k} = \text{Orb}(T_{\sigma'',0,1})^{m_k} \xrightarrow{\Delta_k} \text{Orb}(T_{\sigma'',0,1})^{m_k}, \quad k \neq 0, 1.$$

**5.2. Подстановки в исходных обозначениях.** Перечислим эти подстановки:

$$T_0 = T_{\sigma',1} \xrightarrow{\Delta_0} T_{\sigma',1} = T_0^\sigma, \quad (5.1)$$

$$T_1 = T_{\sigma',0} \xrightarrow{\Delta_1} T_{\sigma',0} \cup (T_0 + v_0) = T_1^\sigma \cup (T_0^\sigma + v_0), \quad (5.2)$$

$$T_k = T_{\sigma'',0,1} \xrightarrow{\Delta_k} T_{\sigma'',0,1} = T_k^\sigma, \quad k \neq 0, 1. \quad (5.3)$$

**5.3. Подстановки для производных орбит.** Переход на производные орбиты:

$$\text{Orb}(T_0)^{m_0} \xrightarrow{\Delta_0} \text{Orb}(T_0^\sigma)^{m_0}, \quad (5.4)$$

$$\text{Orb}(T_1)^{m_1} \xrightarrow{\Delta_1} \text{Orb}(T_1^\sigma)^{m_1} \cup \text{Orb}(T_0^\sigma + v_0)^{m_1}, \quad (5.5)$$

$$\text{Orb}(T_k)^{m_k} \xrightarrow{\Delta_k} \text{Orb}(T_k^\sigma)^{m_k}. \quad (5.6)$$

Учитывая вид (4.5) производного весового вектора  $\mathbf{m}^\sigma$ , переписываем подстановки (5.4)–(5.6):

$$\text{Orb}(T_0)^{m_0} \xrightarrow{\Delta_0} \text{Orb}(T_0^\sigma)^{m_0}, \quad (5.7)$$

$$\text{Orb}(T_1)^{m_1} \xrightarrow{\Delta_1} \text{Orb}(T_1^\sigma)^{m_1^\sigma} \cup \text{Orb}(T_0^\sigma + v_0)^{m_1}, \quad (5.8)$$

$$\text{Orb}(T_k)^{m_k} \xrightarrow{\Delta_k} \text{Orb}(T_k^\sigma)^{m_k^\sigma}. \quad (5.9)$$

Так как  $m_0^\sigma = m_0 + m_1$ , то

$$\text{Orb}(T_0^\sigma)^{m_0^\sigma} = \text{Orb}(T_0^\sigma)^{m_0} \cup \text{Orb}(T_0^\sigma)_{m_0}^{m_0^\sigma}, \quad (5.10)$$

где

$$\text{Orb}(T_0^\sigma)_{m_0}^{m_0^\sigma} = \{S^j(T_0^\sigma); j = m_0, m_0 + 1, \dots, m_0^\sigma - 1\}. \quad (5.11)$$

Согласно (2.17) луч  $v_0$  имеет порядок  $m_0$ . Поэтому хвост орбиты (5.11) – это начало орбиты (5.10), сдвинутое на луч  $v_0$ :

$$\text{Orb}(T_0^\sigma)_{m_0}^{m_0^\sigma} = \text{Orb}(T_0^\sigma)^{m_1} + v_0 = \text{Orb}(T_0^\sigma + v_0)^{m_1}. \quad (5.12)$$

Подставляя (5.12) в подстановку (5.8), получим

$$\text{Orb}(T_1)^{m_1} \xrightarrow{\Delta_1} \text{Orb}(T_1^\sigma)^{m_1^\sigma} \cup \text{Orb}(T_0^\sigma)_{m_0}^{m_0^\sigma}. \quad (5.13)$$

**Теорема 5.1.** *Для всех сочетаний  $\sigma \in \Sigma$  существует отображение*

$$\sigma \rightarrow \Delta = \Delta(\sigma) \quad (5.14)$$

*в множество подстановок  $\Delta$  вида (3.6)–(3.8) такое, что определенное в (2.23) ядерное разбиение  $\mathcal{T} = \mathcal{T}(v)$  тора  $\mathbb{T}_L^d$  для невырожденной звезды  $v$  переводится*

$$\mathcal{T} = \mathcal{T}(v) \xrightarrow{\Delta} \mathcal{T}^\sigma = \mathcal{T}(v^\sigma) \quad (5.15)$$

*подстановкой  $\Delta$  в производное ядерное разбиение  $\mathcal{T}^\sigma = \mathcal{T}(v^\sigma)$ , порождаемое производной звездой  $v^\sigma$  (1.7).*

**Доказательство.** *Случай*  $\sigma = \{0, 1\}$ . Пусть выбрано сочетание  $\sigma = \{0, 1\}$ . Перепишем исходное разбиение (4.1) в виде

$$\mathcal{T} = \text{Orb}(T_0)^{m_0} \cup \text{Orb}(T_1)^{m_1} \cup_{k \neq 0,1} \text{Orb}(T_k)^{m_k}$$

и, учитывая (5.7), (5.9), (5.13), выполним подстановки:

$$\text{Orb}(T_0)^{m_0} \xrightarrow{\Delta_0} \text{Orb}(T_0^\sigma)^{m_0}, \quad (5.16)$$

$$\text{Orb}(T_1)^{m_1} \xrightarrow{\Delta_1} \text{Orb}(T_1^\sigma)^{m_1^\sigma} \cup \text{Orb}(T_0^\sigma)^{m_0^\sigma}, \quad (5.17)$$

$$\text{Orb}(T_k)^{m_k} \xrightarrow{\Delta_k} \text{Orb}(T_k^\sigma)^{m_k^\sigma}. \quad (5.18)$$

После этого разбиение  $\mathcal{T}$  перейдет в объединение

$$\Delta\mathcal{T} = \text{Orb}(T_0^\sigma)^{m_0} \cup \text{Orb}(T_1^\sigma)^{m_1^\sigma} \cup \text{Orb}(T_0^\sigma)^{m_0^\sigma} \cup_{k \neq 0,1} \text{Orb}(T_k^\sigma)^{m_k^\sigma}. \quad (5.19)$$

Согласно определению (4.10) объединение первой и третьей орбит (5.19) составляет орбиту  $\text{Orb}(T_0^\sigma)^{m_0^\sigma}$ . Поэтому

$$\Delta\mathcal{T} = \text{Orb}(T_0^\sigma)^{m_0^\sigma} \cup \text{Orb}(T_1^\sigma)^{m_1^\sigma} \cup_{k \neq 0,1} \text{Orb}(T_k^\sigma)^{m_k^\sigma} \quad (5.20)$$

и, значит,  $\Delta\mathcal{T} = \mathcal{T}^\sigma$ . Поскольку по теореме 2.3 существует производное ядерное разбиение  $\mathcal{T}^\sigma = \mathcal{T}(v^\sigma)$ , имеющее разложение на орбиты из правой части равенства (5.20). Это доказывает формулу (5.15) для сочетания  $\sigma = \{0, 1\}$ .

*Случай произвольного  $\sigma$ .* Укажем, какие нужно сделать изменения в случае произвольного сочетания  $\sigma = \{k_0, k_1\} \in \Sigma$ . Не уменьшая общности, можем считать луч  $v_{k_1}$  доминантным, а луч  $v_{k_0}$  исчезающим.

Зададим подстановку  $s = s(k_0, k_1)$  на множестве индексов  $\mathcal{D} = \{0, 1, \dots, d\}$ , переводящую  $k_0 \rightarrow 0$ ,  $k_1 \rightarrow 1$ , а другие  $k \neq k_0, k_1$  биективно в оставшиеся индексы  $\mathcal{D} \setminus \{0, 1\}$  произвольным образом. На множестве разбиений  $\mathcal{T} = \mathcal{T}(v)$  определим подстановку

$$\Delta(\sigma) = \underbrace{s^{-1}}_3 \cdot \underbrace{\Delta(0, 1)}_2 \cdot \underbrace{s}_1, \quad (5.21)$$

действующую в указанном порядке. Здесь подстановка  $s$  производит соответствующую перенумерацию параллелепипедов  $T_0, T_1, \dots, T_d$  разбиения  $\mathcal{T}$ ;  $\Delta = \Delta(0, 1)$  – ранее определенная подстановка (5.16)–(5.18);  $s^{-1}$  – обратная перенумерация параллелепипедов  $T_0^\sigma, T_1^\sigma, \dots, T_d^\sigma$  уже в производном разбиении  $\mathcal{T}^\sigma$ . Так определенная подстановка  $\Delta(\sigma)$  и будет требуемой подстановкой (5.14).  $\square$

## §6. ГЕОМЕТРИЯ ПОДСТАНОВОК ПАРАЛЛЕЛЕПИПЕДОВ

**6.1. Косые сдвиги.** Выясним геометрический смысл подстановок параллелепипедов (5.1)–(5.3).

Подстановка (5.1) с  $k = 0$  тождественная. Рассмотрим подстановки (5.3). По определению  $T_k = T_{\sigma'',0,1}$  –  $d$ -мерные параллелепипеды с остовами  $\{v_{\sigma''}, v_0, v_1\}$ . За *основание* (*base*)  $T_k(v_{\sigma''}, v_1)$  параллелепипеда  $T_k$  выберем  $(d-1)$ -мерный параллелепипед с остовом  $\{v_{\sigma''}, v_1\}$ . Представим параллелепипед  $T_k$  через сумму Минковского

$$T_k = T_{\sigma'',0,1} = T_k(v_{\sigma''}, v_1) \dot{+} v_0.$$

Также запишем и производный параллелепипед

$$T_k^\sigma = T_{\sigma'',0,1} = T_k(v_{\sigma''}, v_1) \dot{+} v_0,$$

где нулевой луч  $v_0$  производной звезды  $v^\sigma$  имеет вид  $v_0 = v_0 + v_1$ . Следовательно, (5.3) есть не что иное, как *косой сдвиг* верхнего основания  $T_k(v_{\sigma''}, v_1) + v_0$  вдоль вектора  $v_1$ , принадлежащего нижнему основанию  $T_k(v_{\sigma''}, v_1)$ . Поэтому преобразования косого сдвига  $\Delta_k$  для  $k \neq 0, 1$  сохраняют объем параллелепипедов,  $\text{vol } T_k^\sigma = \text{vol } T_k$ .

Более сложной оказалась подстановка (5.2) –

$$T_1 = T_{\sigma',0} \xrightarrow{\Delta_1} T_{\sigma',0} \cup (T_0 + v_0) = T_1^\sigma \cup (T_0 + v_0). \quad (6.1)$$

Рассмотрим *сужение*  $\Delta_1^-$  отображения  $\Delta_1$ :

$$T_1 = T_{\sigma',0} \xrightarrow{\Delta_1^-} T_1^\sigma = T_{\sigma',0}. \quad (6.2)$$

Вернемся к гиперплоскости  $H_{\sigma'}$ , проходящей через  $d-1$  вектор звезды  $v$  с индексами из дополнения  $\sigma' = \mathcal{D} \setminus \sigma$  к сочетению  $\sigma = \{0, 1\}$ . Пусть, для определенности, луч  $v_0$  принадлежит полупространству  $H_{\sigma'}^+$ , другой луч  $v_1$  – полупространству  $H_{\sigma'}^-$ . По соглашению  $v_0$  – исчезающий луч, а  $v_1$  – остающийся (доминантный) луч. Поэтому новый луч  $v_0 = v_0 + v_1$  производной звезды  $v^\sigma$  будет принадлежать тому же полупространству, что и исчезающий луч  $v_0$ . Итак, имеем

$$v_0 \in H_{\sigma'}^+, \quad v_0 \in H_{\sigma'}^+, \quad v_1 \in H_{\sigma'}^-. \quad (6.3)$$

В качестве *основания*  $T_1(v_{\sigma'})$  параллелепипеда  $T_1 = T_{\sigma',0}$  выберем  $(d-1)$ -мерный параллелепипед с остовом  $\{v_{\sigma'}\}$ . Имеем

$$T_1 = T_{\sigma',0} = T_1(v_{\sigma'}) \dot{+} v_0; \quad (6.4)$$

$$T_1^\sigma = T_{\sigma',0} = T_1(v_{\sigma'}) \dot{+} v_0 = T_1(v_{\sigma'}) \dot{+} (v_0 + v_1). \quad (6.5)$$



Из представлений (6.4), (6.5) и включений (6.3) следует неравенство

$$\text{vol } T_1^\sigma = \text{vol } \Delta_1^- T_1 < \text{vol } T_1.$$

Таким образом, сужение  $\Delta_1^-$  (6.2) отображения  $\Delta_1$  представляет собою *сжимающий* косоу сдвиг  $T_1 \xrightarrow{\Delta_1^-} T_1^\sigma$ .

**6.2. Складки.** Сдвинутый параллелепипед из (6.1) также представим через сумму Минковского

$$T_0 + v_0 = (T_1(v_{\sigma'}) \dot{+} v_1) + v_0 = (T_1(v_{\sigma'}) + v_0) \dot{+} v_1, \quad (6.6)$$

где  $T_1(v_{\sigma'}) + v_0$  – второе основание параллелепипеда  $T_1 = T_{\sigma',0}$  (6.4).

Рассмотрим двоянный невыпуклый многогранник

$$\Delta T_1 = T_1^\sigma \cup (T_0 + v_0) = T_{\sigma',0} \cup (T_0 + v_0), \quad (6.7)$$

который из-за его формы назовем *V-складкой* (V-fold). Введем для нее обозначение

$$T_1^\sigma \vee (T_0 + v_0) = T_1^\sigma \cup (T_0 + v_0). \quad (6.8)$$

Многогранник (6.7) составлен из двух параллелепипедов  $T_1^\sigma$  и  $T_0 + v_0$  с общей  $(d-1)$ -мерной гранью

$$T_1^\sigma \cap (T_0 + v_0) = T_1(v_{\sigma'}) + v_0,$$

расположенной между

$$T_1(v_{\sigma'}) <_{H_{\sigma'}} T_1(v_{\sigma'}) + v_0 <_{H_{\sigma'}} T_1(v_{\sigma'}) + v_0 \quad (6.9)$$

по высоте относительно гиперплоскости  $H_{\sigma'}$  в направлении полупространства  $H_{\sigma'}^+$ . Поскольку  $T_1(v_{\sigma'})$  и  $T_1(v_{\sigma'}) + v_0$  – противоположные грани параллелепипеда  $T_1$ , то из (6.4), (6.5) и (6.6), (6.7) следует формула

$$\text{vol } \Delta T_1 = \text{vol } T_1^\sigma + \text{vol } T_0 \quad (6.10)$$

для объема складки  $\Delta T_1$  (6.7) – образа параллелепипеда  $T_1$  при подстановке  $\Delta = \Delta_1$  (6.1). Из (6.7) и (6.9) получаем инвариантность

$$\text{vol } \Delta T_1 = \text{vol } T_1$$

объема параллелепипеда  $T_1$  при том же преобразовании  $\Delta = \Delta_1$ .

Итак, доказано следующее утверждение.

**Предложение 6.1.** 1. *Определенная в (5.1)–(5.3) подстановка параллелепипедов*

$$T_k \xrightarrow{\Delta} T_k^\sigma$$

имеет следующий геометрический смысл:  $\Delta = \Delta_0$  – тождественное отображение;  $\Delta = \Delta_1^-$  – сжимающий косоый сдвиг;  $\Delta = \Delta_k$  – простой косоый сдвиг для остальных  $k \neq 0, 1$ .

2. *Отображение  $\vee$ -складки*

$$T_1 \xrightarrow{\Delta} \Delta T_1 = T_1^\sigma \vee (T_0 + v_0) \quad (6.11)$$

сохраняет объем (6.10).

**6.3. Дефляция ядерных разбиений.** Пусть  $\mathcal{T} = \mathcal{T}(v)$  – разбиение (2.21), (2.23) тора  $\mathbb{T}_L^d$ , индуцированное вкладывающейся в тор  $T \xrightarrow{\text{em}} \mathbb{T}_L^d$  разверткой  $T = T(v)$ ; и пусть  $\Delta$  – подстановка (3.6)–(3.8) на множестве параллелепипедов  $T_0, T_1, \dots, T_d$ . Далее, пусть

$$\mathcal{T} = \mathcal{T}(v) \xrightarrow{\Delta} \Delta \mathcal{T} = \mathcal{T}^\sigma(v) = \mathcal{T}(v^\sigma) \quad (6.12)$$

– отображение (5.15) множества ядерных разбиений  $\mathcal{T} = \mathcal{T}(v)$  из теоремы 5.1. По предложению 6.1 отображения  $T_k \xrightarrow{\Delta} T_k^\sigma$  ( $k = 0, 1, \dots, d$ ) или сохраняют объемы параллелепипедов, или уменьшают. При этом недостающий объем всего исходного разбиения  $\mathcal{T}$  восполняется (6.11) через образование  $\vee$ -складок  $T_1^\sigma \vee (T_0 + v_0)$  в преобразованном разбиении  $\Delta \mathcal{T}$  или, иначе, – через добавление в  $\Delta \mathcal{T}$  новых параллелепипедов вида  $T_0$ .

Таким образом, в результате преобразования  $\mathcal{T} \xrightarrow{\Delta} \Delta \mathcal{T}$  разбиения  $\mathcal{T} = \mathcal{T}(v)$  в нем в среднем происходит уменьшение объемов образующих его параллелепипедов  $T_k$ . По этой причине преобразование (6.12) целесообразно назвать *дефляцией*.

**6.4. Дефляция двумерного ядерного разбиения.** Рассматривается ядерное разбиение  $\mathcal{T} = \mathcal{T}(v)$  размерности 2, изображенное на рис. 2.1. Для его ядра  $T = \text{Gr}(\mathcal{T})$  (2.24) на рис. 6.1 показан процесс образования  $\vee$ -складки  $T_1^\sigma \vee (T_0 + v_0)$  (6.8) в случае сочетания  $\sigma = \{0, 1\}$ , когда  $v_0$  – исчезающий луч, а  $v_1$  – остающийся (доминантный) луч.

Звезда  $v = \{v_0, v_1, v_2\}$  в разбиении  $\mathcal{T} = \mathcal{T}(v)$  имеет лучи  $v_0, v_1, v_2$  порядков  $m_0 = 6, m_1 = 5, m_2 = 3$ . У дефлированной звезды  $v^\sigma = \{v_0^\sigma, v_1^\sigma, v_2^\sigma\}$  порядки лучей  $m_0^\sigma = m_0 + m_1 = 11, m_1^\sigma = 5, m_2^\sigma = 3$ .

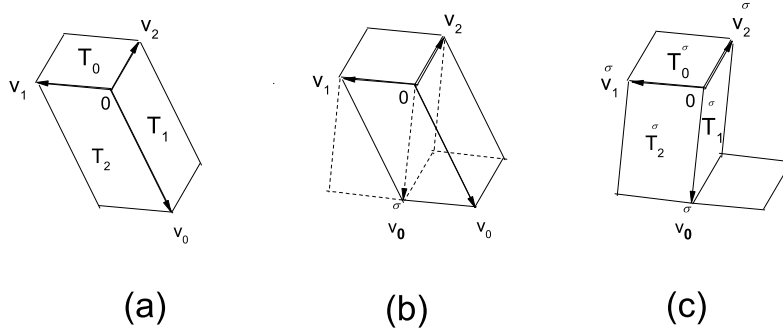


Рис. 6.1. (а) Исходное ядро  $T$ ; (б) образование  $\vee$ -складки; (с) ядро  $T^\sigma$  после дефляции  $\sigma = \{0, 1\}$ .

Для того же сочетания  $\sigma = \{0, 1\}$  на рис. 6.2 показан процесс дефляции  $\mathcal{T} \xrightarrow{\Delta} \Delta\mathcal{T} = \mathcal{T}^\sigma$  (6.12) двумерного разбиения  $\mathcal{T} = \mathcal{T}(v)$  на рис. 2.1. Весь дефляционный процесс происходит в многоугольной полосе, выделенной жирными границами на рис. 6.2(b). В результате дефляции порядок  $m_0 = 6$  становится  $m_0^\sigma = 11$ , поэтому в разбиении  $\Delta\mathcal{T} = \mathcal{T}^\sigma$  количество параллелограммов типа  $T_0$  возрастает на 5. Все новые параллелограммы типа  $T_0$  лежат в выделенной полосе и входят в образовавшиеся  $\vee$ -складки.

## §7. ИНФЛЯЦИЯ ЗВЕЗД

**7.1. Инфляция звезды и барицентрические координаты.** Обозначим через  $\Sigma^{\langle \rangle}$  совокупность всех упорядоченных пар  $\iota = \langle k_1, k_2 \rangle$  из двух элементов  $k_1, k_2$  из множества индексов  $\mathcal{D} = \{0, 1, \dots, d\}$ . Для произвольного  $\iota = \langle k_1, k_2 \rangle$  определим операцию *инфляции*

$$v \xrightarrow{\iota} v^\iota = \{v_0^\iota, v_1^\iota, \dots, v_d^\iota\} \quad (7.1)$$

на множестве всех звезд  $v = \{v_0, v_1, \dots, v_d\}$  (см. определение 1.1), полагая  $v_{k_1}^\iota = v_{k_1} - v_{k_2}$  и  $v_k^\iota = v_k$  для  $k \neq k_1$ .

**Предложение 7.1.** Для произвольной звезды  $v$  ее инфляция  $v^\iota$ , определенная в (7.1), также является звездой.

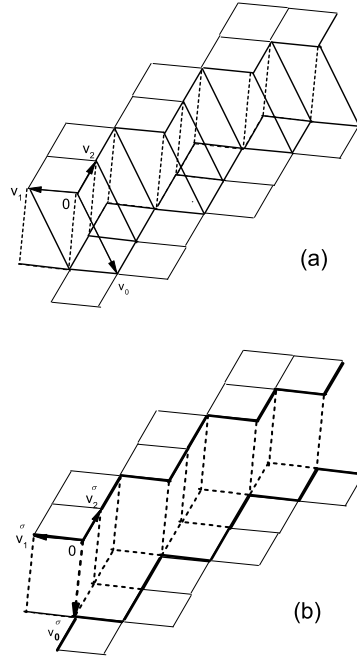


Рис. 6.2. (а) Образование V-складок в разбиении  $\mathcal{T}$  для  $\sigma = \{0, 1\}$ ;  
(б) дефлированное разбиение  $\Delta\mathcal{T} = \mathcal{T}^\sigma$ .

**Доказательство.** По критерию 1.1 получаем представление

$$\mathbf{0} = \pi_0 v_0 + \pi_1 v_1 + \dots + \pi_d v_d \quad (7.2)$$

для точки  $\mathbf{0} = (0, 0, \dots, 0)$  – центра звезды  $v$  и, значит, она имеет *барицентрические координаты*

$$\mathbf{0}_v = (\pi_0, \pi_1, \dots, \pi_d) \quad (7.3)$$

относительно замкнутого  $d$ -мерного симплекса  $\Delta(v)$  (1.2), вершины которого есть концы лучей звезды  $v$ . В (7.2) коэффициенты  $\pi_k$  удовлетворяют условию *нормирования*

$$\pi_0 + \pi_1 + \dots + \pi_d = 1, \quad \text{где } \pi_k > 0 \quad (k = 0, 1, \dots, d).$$

Пусть для определенности  $\iota = \langle k_1, k_2 \rangle = \langle 0, 1 \rangle$ . Если переписать представление (7.2) в виде

$$\mathbf{0} = \pi_0(v_0 - v_1) + (\pi_1 + \pi_0)v_1 + \dots + \pi_d v_d,$$

то после нормирования получим

$$\mathbf{0} = \pi_0^l v_0^l + \pi_1^l v_1^l + \dots + \pi_d^l v_d^l \quad (7.4)$$

с коэффициентами

$$\pi_1^l = \frac{\pi_1 + \pi_0}{1 + \pi_0}, \quad \pi_k^l = \frac{\pi_k}{1 + \pi_0} \quad \text{для } k \neq 1. \quad (7.5)$$

Представление (7.4), (7.5) означает, что  $\mathbf{0}$  остается внутренней точкой симплекса  $\Delta(v^l)$  для множества лучей  $v^l$  из (7.1). Снова применяя критерий 1.1, убеждаемся, что  $v^l$  является звездой.  $\square$

**7.2. Типы звезд и их эквивалентность.** Будем говорить, что две звезды  $v$  и  $v'$  *аффинно эквивалентны* или, просто, – *эквивалентны*

$$v \sim v', \quad (7.6)$$

если  $v' = Av$  для некоторого преобразования  $A$  из вещественной группы аффинных преобразования  $GL_d(\mathbb{R})$  размерности  $d$ .

В [13] доказана следующая

**Лемма 7.1.** *Имеет место следующая равносильность*

$$v \sim v' \Leftrightarrow \mathbf{0}_v \sim \mathbf{0}_{v'}, \quad (7.7)$$

где эквивалентность  $\mathbf{0}_v \sim \mathbf{0}_{v'}$  означает совпадение барицентрических координат с точностью до их перестановки.

Согласно (7.7), барицентрические координаты  $\mathbf{0}_v$  центра звезды  $v$  целесообразно назвать *типом* звезды  $v$ .

Скажем, что звезда  $v$  имеет *иррациональный* тип, если барицентрические координаты ее центра (7.3) удовлетворяют условию:

$$\pi_0, \pi_1, \dots, \pi_d \text{ линейно независимы над } \mathbb{Z}. \quad (7.8)$$

В [13] доказано, что условия иррациональности (7.8) и (2.20) звезды  $v$  и вектора сдвига тора  $\alpha = (\alpha_1, \dots, \alpha_d)$  из (2.13) эквивалентны.

### 7.3. Связь между производными и инфляционными звездами.

Если нужно выделить индексы  $k_1, k_2$  из сочетания  $\sigma = \{k_1, k_2\}$  из  $\Sigma$ , то будем для  $\sigma$ -производной (1.7) использовать еще и другое развернутое обозначение

$$v^\sigma = v^{\{k_1, k_2\}}.$$

По определению (1.7) имеет место формула коммутирования

$$v^{\{k_1, k_2\}} = v^{\{k_2, k_1\}}. \quad (7.9)$$

Поэтому для невырожденной звезды  $v$  существуют

$$\#\Sigma = C_{d+1}^2 = \frac{d(d+1)}{2}$$

ее производных звезд  $v^\sigma$ .

Аналогично для упорядоченной пары  $\iota = \langle k_1, k_2 \rangle$  из  $\Sigma^{(\downarrow)}$  введем обозначение

$$v^\iota = v^{\langle k_1, k_2 \rangle}.$$

Согласно определению (7.1), в этом случае формула коммутирования (7.9) уже не выполняется

$$v^{\langle k_1, k_2 \rangle} \neq v^{\langle k_2, k_1 \rangle}$$

и, следовательно, для произвольной звезды  $v$  по предложению 7.1 инфляционных звезд  $v^\iota$  существует в два раза больше

$$\#\Sigma^{(\downarrow)} = d(d+1).$$

Пусть  $\iota = \langle k_1, k_2 \rangle$  и  $\sigma = \{k_1, k_2\}$ . Примем соглашение

$$v^{\iota\sigma} = (v^\iota)^\sigma.$$

Выпишем несколько формул связи между операциями дифференцирования и инфлирования. Первые две формулы

$$v^{\langle k_1, k_2 \rangle \{k_1, k_2\}} = v, \quad v^{\langle k_2, k_1 \rangle \{k_1, k_2\}} = v \quad (7.10)$$

выполняются для произвольной звезды  $v$ . Чтобы привести аналогичные (7.10) формулы с другим порядком операций  $v^{\sigma\iota}$ , введем для производных звезд  $v^\sigma = v^{\{k_1, k_2\}}$  дополнительные индексы

$$v_{k_1}^{\{k_1, k_2\}}, \quad v_{k_2}^{\{k_1, k_2\}}, \quad (7.11)$$

указывающие, какой из лучей  $v_{k_1}$  или  $v_{k_2}$  является доминантным. В этих обозначениях для невырожденных звезд  $v$  справедливы формулы

$$v_{k_2}^{\{k_1, k_2\} \langle k_1, k_2 \rangle} = v, \quad v_{k_1}^{\{k_1, k_2\} \langle k_2, k_1 \rangle} = v. \quad (7.12)$$

Пусть снова для определенности  $\iota = \langle k_1, k_2 \rangle = \langle 0, 1 \rangle$ . Согласно (7.5) имеет место формула

$$\begin{aligned} (\pi_0, \pi_1, \dots, \pi_d)^\iota &= (\pi_0^\iota, \pi_1^\iota, \dots, \pi_d^\iota) \\ &= \left( \frac{\pi_0}{1 + \pi_0}, \frac{\pi_1 + \pi_0}{1 + \pi_0}, \dots, \frac{\pi_d}{1 + \pi_0} \right) \end{aligned} \quad (7.13)$$

преобразования барицентрических координат  $\pi_0, \pi_1, \dots, \pi_d$  (7.3) для произвольных звезд  $v$ .

Также пусть  $\sigma = \{k_1, k_2\} = \{0, 1\}$  и луч  $v_1$  будет доминантным. Тогда используя определение (1.7) производной звезды  $v^\sigma$ , в обозначениях (7.11) аналогично (7.13) получаем формулу

$$\begin{aligned} (\pi_0, \pi_1, \dots, \pi_d)^\sigma &= (\pi_0^\sigma, \pi_1^\sigma, \dots, \pi_d^\sigma) \\ &= \left( \frac{\pi_0}{1 - \pi_0}, \frac{\pi_1 - \pi_0}{1 - \pi_0}, \dots, \frac{\pi_d}{1 - \pi_0} \right) \end{aligned} \quad (7.14)$$

для невырожденных звезд  $v$ . Данная формула интересна тем, что позволяет по барицентрическим координатам центра звезды  $v$  определить ее свойства.

- 1) Является ли звезда  $v$  невырожденной:  $\pi_{k_1} \neq \pi_{k_2}$  для всех  $k_1 \neq k_2$ ?
- 2) Который из лучей  $v_{k_1}$  или  $v_{k_2}$  звезды  $v$  будет доминантным? Для  $\sigma = \{k_1, k_2\}$  луч  $v_{k_2}$  будет доминантным, если  $\pi_{k_1} < \pi_{k_2}$ .

Приведенные выше формулы (7.10) и (7.12) можно проверить с помощью формул преобразования барицентрических координат (7.13) и (7.14).

## §8. ИНФЛЯЦИЯ ЗВЕЗД И ПАРАЛЛЕЛЕПИПЕДОВ

**8.1. Вложение инфляционных звезд.** Пусть  $v = \{v_0, v_1, \dots, v_d\}$  – звезда имеющая весовой вектор  $\mathbf{m} = (m_0, m_1, \dots, m_d)$  (4.4). Тогда по определению (7.1) инфляционная звезда  $v^\iota = \{v_0^\iota, v_1^\iota, \dots, v_d^\iota\}$  для  $\iota = \langle k_1, k_2 \rangle$  будет иметь *весовой вектор*

$$\mathbf{m}^\iota = (m_0^\iota, m_1^\iota, \dots, m_d^\iota) \quad (8.1)$$

с весами

$$m_{k_1}^\iota = m_{k_1} - m_{k_2}, \quad m_k^\iota = m_k \quad \text{для } k \neq k_1. \quad (8.2)$$

Скажем, что звезда  $v$  с весовым вектором  $\mathbf{m}$  допускает инфляцию  $\iota = \langle k_1, k_2 \rangle$  из  $\Sigma^\langle \rangle$ , если весовой вектор инфляционной звезды  $v^\iota$  положителен,

$$\mathbf{m}^\iota > 0, \quad (8.3)$$

т.е. все веса (8.2) положительны.

Если  $v$  – звезда, то по предложению 7.1 множество лучей  $v^t$  также будет звездой для любой инфляции  $\iota \in \Sigma^{(\downarrow)}$ ; и если звезда  $v$  допускает (8.3) инфляцию  $\iota$ , то для инфляционной звезды  $v^t$  существует определенная в (2.23) развертка

$$T^t = T(v^t) = T_0^t \cup T_1^t \cup \dots \cup T_d^t \quad (8.4)$$

с векторами перекладывания  $v_0^t, v_1^t, \dots, v_d^t$ . Поэтому для инфляционной развертки  $T^t$  можно поставить вопрос о вложении (см. определение 2.1)

$$T^t \xrightarrow{\text{em}} \mathbb{T}_L^d$$

в тор  $\mathbb{T}_L^d$  относительно сдвига  $S = S_\alpha$  и о соответствующем вложении звезды  $v^t$  (см. определение 2.2).

**Теорема 8.1.** *Пусть произвольная звезда  $v = \{v_0, v_1, \dots, v_d\}$  вкладывается (2.27) в тор  $\mathbb{T}_L^d$  относительно сдвига  $S = S_\alpha$  с иррациональным (2.20) вектором  $\alpha$ . Тогда для любой допустимой (8.3) инфляции  $\iota \in \Sigma^{(\downarrow)}$  инфляционная звезда  $v^t = \{v_0^t, v_1^t, \dots, v_d^t\}$  также вкладывается*

$$v^t \xrightarrow{\text{em}} \mathbb{T}_L^d$$

*в тот же тор  $\mathbb{T}_L^d$  относительно сдвига  $S$ .*

**Доказательство.** На торе  $\mathbb{T}_L^d$  рассмотрим следующее множество

$$\mathcal{T}^t = \text{Orb}(T_0^t)^{m_0} \cup \text{Orb}(T_1^t)^{m_1} \cup \dots \cup \text{Orb}(T_d^t)^{m_d} \quad (8.5)$$

состоящее из орбит

$$\text{Orb}(T_k^t)^{m_k} = \{S^j(T_k^t); j = 0, 1, \dots, m_k - 1\}$$

с весами  $m_k$  из (8.2). Развертка  $T^t = T(v^t)$  (8.4) перекладывается векторами  $v_0^t, v_1^t, \dots, v_d^t$ , поэтому множество  $\mathcal{T}^t$  замкнуто относительно сдвига тора  $S$ . Так как сдвиг  $S = S_\alpha$  иррациональный (2.20), множество (8.5) покрывает весь тор

$$\mathcal{T}^t = \mathbb{T}_L^d. \quad (8.6)$$

С помощью предложения 9.1 можно показать, что объем всех параллелепипедов  $S^j(T_k^t)$  из множества (8.5) тот же самый, что и объем всех параллелепипедов  $S^j(T_k)$  из исходного разбиения  $\mathcal{T}$  в (4.1). Отсюда и существования покрытия (8.6) следует, что разные параллелепипеды  $S^j(T_k^t)$  не имеют общих внутренних точек.



Таким образом, объединение (8.5) является разбиением тора  $\mathbb{T}_L^d$  на параллелепипеды  $S^j(T_k^t)$ .  $\square$

**8.2. Лучи.** Пусть  $\iota = \langle 0, 1 \rangle$  – последовательность из двух *фиксированных элементов*  $0, 1$ ;  $\iota' = \mathcal{D} \setminus \iota$  – дополнение  $\iota$  в  $\mathcal{D}$  из  $d' = d - 1$  элемента;  $\iota'' \subset \iota'$  – любое множество из  $d'' = d - 2$  элементов.

Определим следующие лучи звезды  $v = \{v_0, v_1, \dots, v_d\}$ :

$v_0, v_1$  – *связанные лучи*: лучи отвечающие  $\iota$ ;

$v_0$  – *исчезающий луч*;

$v_1$  – *остающийся луч* (вычитаемый луч);

$v_k$  для  $k \in \iota'$  – *свободные лучи*;

$v_0^t = v_0 = v_0 - v_1$  – *новый луч* инфляционной звезды  $v^t = \{v_0, v_1, \dots, v_d\}$ .

**8.3. Инфляционные параллелепипеды и их характеристики.**

Перечислим параллелепипеды из инфляционного ядра  $T^\iota = T(v^\iota)$  для  $\iota = \langle 0, 1 \rangle$ :

$T_0^t = T_{\iota', 1}$  – *неменяющийся* параллелепипед с остовом  $v_{\iota', 1} = \{v_{\iota'}, v_1\}$ ;

$T_1^t = T_{\iota', 0}$  – *поглощающий* параллелепипед увеличенного объема с остовом  $v_{\iota', 0} = \{v_{\iota'}, v_0\}$ , где  $v_{\iota'}$  – множество лучей  $v_k$  с индексами  $k \in \iota'$ ;

$T_k^t = T_{\iota'', 0, 1}$  – *сохраняющие объем деформирующиеся* параллелепипеды с остовами  $v_{\iota'', 0, 1} = \{v_{\iota''}, v_0, v_1\}$ , где  $v_{\iota''}$  – множество лучей  $v_k$  с индексами  $k \in \iota''$ , при этом  $\iota''$  пробегает все  $(d-2)$ -подмножества из  $\iota'$ .

**8.4. Подстановки базисных параллелепипедов.** Перечислим данные подстановки:

$$T_0 = T_{\iota', 1} \xrightarrow{\nabla_0^0} T_{\iota', 1} = T_0^t, \quad (8.7)$$

$$T_1 = T_{\iota', 0} \xrightarrow{\nabla_1^-} T_{\iota', 0} = T_1^t, \quad (8.8)$$

$$T_k = T_{\iota'', 0, 1} \xrightarrow{\nabla_k^k} T_{\iota'', 0, 1} = T_k^t \quad \text{для } k \neq 0, 1. \quad (8.9)$$

**8.5. Подстановки орбитных параллелепипедов.** Согласно (8.1), (8.2), для последовательности  $\iota = \langle 0, 1 \rangle$  весовым вектором будет

$$\mathbf{m}^t = (m_0^t, m_1^t, \dots, m_d^t) = (m_0 - m_1, m_1, \dots, m_d).$$

Поэтому

$$S^j(T_0) \xrightarrow{\nabla_0^0} S^j(T_0) = S^j(T_0^t) \quad (8.10)$$

для  $j = 0, \dots, m_0^t - 1$ ;

$$S^j(T_1 \cup (T_0 + v_0^t)) \xrightarrow{\nabla_1^-} S^j(T_1^t) \quad (8.11)$$

для  $j = 0, \dots, m_1^t - 1$ ;

$$S^j(T_k) \xrightarrow{\nabla^k} S^j(T_k^t) \quad (8.12)$$

для  $k \neq 0, 1$  и  $j = 0, \dots, m_k^t - 1$ .

**8.6. Выпрямление  $\vee$ -складок.** Как и в (6.8), у нас снова появляется  $\vee$ -складка – сдвоенный невыпуклый многогранник

$$T_1 \vee (T_0 + v_0^t) = T_1 \cup (T_0 + v_0^t). \quad (8.13)$$

Только теперь преобразование

$$T_1 \vee (T_0 + v_0^t) \xrightarrow{\nabla^1} T_1^t \quad (8.14)$$

представляет собою обратную операцию *выпрямления*  $\vee$ -складки. При такой операции происходит *поглощение* всех  $m_1^t$  параллелепипедов

$$S^j(T_0 + v_0^t) = S^{j+m_0^t}(T_0) \quad (8.15)$$

для  $j = 0, \dots, m_1^t - 1$  из начального разбиения  $\mathcal{T}$ . Образование  $\vee$ -складок (8.13) происходит посредством операции *подтягивания* параллелограммов типа  $T_0$ .

## §9. ИНФЛЯЦИЯ РАЗБИЕНИЙ

### 9.1. Геометрия подстановок параллелепипедов при инфляции.

Выясним геометрический смысл инфляционных подстановок параллелепипедов (8.7)–(8.9).

**Предложение 9.1.** 1. *Определенные в (8.7)–(8.9) инфляционные подстановки параллелепипедов*

$$T_k \xrightarrow{\nabla} T_k^t$$

*имеют следующий геометрический смысл.*

- 0)  $\nabla = \nabla_0$  – тождественное отображение,  $\text{vol } T_0^t = \text{vol } T_0$ ;
- 1)  $\nabla = \nabla_1^-$  – растягивающий косой сдвиг,  $\text{vol } T_1^t > \text{vol } T_1$ ;
- к)  $\nabla = \nabla_k$  ( $k \neq 0, 1$ ) – простой косой сдвиг, сохраняющий объем параллелепипедов,  $\text{vol } T_k^t = \text{vol } T_k$ .

2. *Отображение выпрямления  $\vee$ -складки  $T_1 \vee (T_0 + v_0^t) \xrightarrow{\nabla} T_1^t$ , определенное в (8.14), сохраняет объем*

$$\text{vol } T_1 + \text{vol } T_0 = \text{vol } T_1^t.$$

**Доказательство.** Эти утверждения мы получаем следуя доказательству предложения 6.1.  $\square$

## 9.2. Подстановки и инфляция разбиений.

**Теорема 9.1.** Для всех допустимых (8.3) инфляций  $\iota \in \Sigma^{\langle \rangle}$  существует отображение

$$\iota \rightarrow \nabla = \nabla(\iota)$$

в множество подстановок  $\nabla$  вида (8.10)–(8.12) такое, что определенное в (2.23) ядерное разбиение  $\mathcal{T} = \mathcal{T}(v)$  тора  $\mathbb{T}_{\mathcal{L}}^d$  для произвольной звезды  $v$  переводится

$$\mathcal{T} = \mathcal{T}(v) \xrightarrow{\nabla} \mathcal{T}^{\iota} = \mathcal{T}(v^{\iota}) \quad (9.1)$$

подстановкой  $\nabla$  в инфляционное ядерное разбиение  $\mathcal{T}^{\iota} = \mathcal{T}(v^{\iota})$ , порождаемое инфляционной звездой  $v^{\iota}$  (7.1).

**Доказательство.** Случай  $\iota = \langle 0, 1 \rangle$ . Используя явный вид, см. 8.5, весового вектора  $\mathbf{m}^{\iota}$ , исходное разбиение (4.1)

$$\mathcal{T} = \text{Orb}(T_0)^{m_0} \cup \text{Orb}(T_1)^{m_1} \cup_{k \neq 0, 1} \text{Orb}(T_k)^{m_k}$$

разложим на следующие объединения орбит

$$\text{Orb}(T_0)^{m_0} \cup_{k \neq 0, 1} \text{Orb}(T_k)^{m_k} \quad (9.2)$$

и

$$\text{Orb}(T_1)^{m_1} \cup \text{Orb}(T_0)_{m_0}^{m_0} = \text{Orb}(T_1 \cup (T_0 + v_0^{\iota}))^{m_1}. \quad (9.3)$$

Если теперь в орбитах (9.2), (9.3) выполнить подстановки (8.10)–(8.12), то получим инфляционное ядерное разбиение  $\mathcal{T}^{\iota} = \mathcal{T}(v^{\iota})$ , которое в силу теоремы 8.1 и определения 2.1 состоит как раз из орбит (9.2), (9.3).

Случай произвольного  $\iota \in \Sigma^{\langle \rangle}$ . Вопрос сводится к рассмотренному выше  $\iota = \langle 0, 1 \rangle$  аналогично (5.21).  $\square$

Преобразование (9.1) из теоремы 9.1

$$\mathcal{T} \xrightarrow{\nabla} \nabla \mathcal{T} = \mathcal{T}^{\iota}$$

называется *инфляцией*. Оно в некотором смысле (7.10), (7.12) обратное преобразованию дефляции (6.12). По предложению 9.1 отображения  $T_k \xrightarrow{\nabla} T_k^{\sigma}$  ( $k = 0, 1, \dots, d$ ) или сохраняют объемы параллелепипедов, или увеличивают их объемы за счет выпрямления  $\vee$ -складок  $T_1 \vee (T_0 + v_0^{\iota}) \xrightarrow{\nabla} T_1^{\iota}$  (8.14) с одновременным поглощением части параллелепипедов вида  $T_0$  из исходного разбиения  $\mathcal{T}$ .

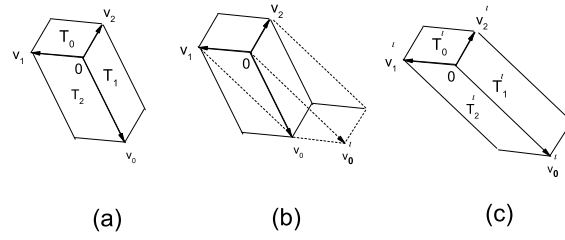


Рис. 9.1. (а) Исходное ядро  $T$ ; (б) инфляция и подтягивание параллелограмма  $T_0$ ; (с) ядро  $T^\iota$  после инфляции  $\iota = \langle 0, 1 \rangle$ .

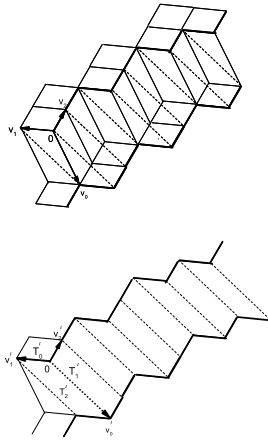


Рис. 9.2. Подтягивание параллелограммов типа  $T_0$  и образование  $\vee$ -складок. Выпрямление  $\vee$ -складок и образование инфляционного разбиения  $\nabla T = T^\iota$ .

**9.3. Инфляция двумерного ядерного разбиения.** Снова рассматривается ядерное разбиение  $\mathcal{T} = \mathcal{T}(v)$  размерности  $d = 2$ , изображенное на рис. 2.1.

В качестве допустимой (8.3) инфляции  $\iota \in \Sigma^{\langle \rangle}$  выбрана  $\iota = \langle 0, 1 \rangle$ . Это возможно, так как звезда  $v = \{v_0, v_1, v_2\}$  в разбиении  $\mathcal{T} = \mathcal{T}(v)$  имеет лучи  $v_0, v_1, v_2$  порядков  $m_0 = 6$ ,  $m_1 = 5$ ,  $m_2 = 3$ ; и, следовательно, по определению (8.1) у инфляционной звезды  $v^\iota = \{v_0^\iota, v_1^\iota, v_2^\iota\}$

будет положительный весовой вектор

$$\mathbf{m}^l = (m_0^l, m_1^l, m_2^l) = (1, 5, 3) > 0. \quad (9.4)$$

Для ядра  $T = \text{Kг} = \text{Kг}(\mathcal{T})$  на рис. 9.1 показан процесс (8.14) выпрямления  $\vee$ -складки

$$T_1 \vee (T_0 + v_0^l) \xrightarrow{\nabla^1} T_1^l \quad (9.5)$$

при котором происходит поглощение всех  $m_1^l = 5$  параллелограммов типа  $T_0$  из начального разбиения  $\mathcal{T}$  (см. рис. 9.2). На первом шаге происходит подтягивание параллелограмма  $T_0$  к ядерному параллелограмму  $T_1 \subset T$  (см. рис. 9.1 (b)), затем выпрямление появившейся  $\vee$ -складки (см. рис. 9.1 (c)).

На рис. 9.2 (a) показан процесс подтягивания параллелограммов типа  $T_0$  ко всем соседним параллелограммам типа  $T_1$  и образования  $\vee$ -складок в исходном разбиении  $\mathcal{T}$ . Затем на рис. 9.2 (b) происходит выпрямление появившихся на первом этапе  $\vee$ -складок. После инфляции (9.5) в разбиении  $\nabla\mathcal{T} = \mathcal{T}^l$ , согласно (9.4), остается единственный ( $m_0^l = 1$ ) параллелограмм  $T_0^l = T_0$  из ядра  $T^l$ .

#### СПИСОК ЛИТЕРАТУРЫ

1. N. G. de Bruijn, *Algebraic theory of Penrose's non-periodic tilings of the plane I, II*. — Proceedings of the Koninklijke Nederlandse Akademie van Wetenschappen Series A **84** (1) (1981), 39–66.
2. B. Grünbaum, G. C. Shephard, *Tilings and Patterns*. W. H. Freeman, San Francisco, 1987.
3. M. Gardner, *Penrose Tiles to Trapdoor Ciphers and the return of Dr. Matrix*. W. H. Freeman and Co., New York, 1989.
4. P. Arnoux, S. Ito, *Pisot Substitutions and Rauzy fractals*. — Bulletin of the Belgian Mathematical Society **8**, No. 2 (2001), 1–27.
5. S. Ito, *Diophantine approximations, substitutions, and fractals*. In: N.P. Fogg, *Substitutions in Dynamics, Arithmetics and Combinatorics*. Lecture Notes in Mathematics, vol. 1794. Springer, Berlin, Heidelberg, 2002.
6. В. Г. Журавлев, А. В. Малеев, *Симметрия подобия двумерного квазипериодического разбиения Розчи*. — Кристаллография **54** (2009), 400–409.
7. S. Akiyama, J.-Y. Lee, *Determining quasicrystal structures on substitution tilings*. — Philosophical Magazine A **91**, No. 19 (2011), 2709–2717.
8. В. Г. Журавлев, *Дифференцирование индуцированных разбиений тора и многомерные приближения алгебраических чисел*. — Зап. научн. семин. ПОМИ **445** (2016), 33–92.
9. G. Rauzy, *Nombres algébriques et substitutions*. — Bull. Soc. Math. France **110** (1982), 147–178.

10. В. Г. Журавлев, *Разбиения Розы и множества ограниченного остатка на торе*. — Зап. научн. семин. ПОМИ **322** (2005), 83–106.
11. A. V. Shutov, A. V. Maleev, V. G. Zhuravlev, *Complex quasiperiodic self-similar tilings: their parameterization, boundaries, complexity, growth and symmetry*. — Acta Crystallogr. **A66** (2010), 427–437.
12. В. Г. Журавлев, *Одномерные разбиения Фибоначчи*. — Изв. РАН, сер. матем. **71** (2007), No. 2, 89–122.
13. В. Г. Журавлев, *Универсальные ядерные разбиения*. — Зап. научн. семин. ПОМИ **490** (2020), 49–93.
14. В. Г. Журавлев, *Локальный алгоритм построения производных разбиений двумерного тора*. — Зап. научн. семин. ПОМИ **479** (2019), 85–120.
15. В. Г. Журавлев, *Симплекс-ядерный алгоритм разложения в многомерные цепные дроби*. — Современные проблемы матем., МИАН **299** (2017), 283–303.
16. S. Ito, M. Ohtsuki, *Parallelogram tilings and Jacobi-Perron algorithm*. — Tokyo J. Math. **17**, No. 1 (1994), 33–58.
17. P. Arnoux, V. Berthé, H. Ei, Sh. Ito, *Tilings, Quasicrystals, Discrete Planes, Generalized Substitutions, and Multidimensional Continued Fractions*. — Maison de l'Informatique et des Mathématiques Discrètes (MIMD), Paris (2001), 59–78.
18. В. Г. Журавлев, *Ядерные цепные дроби*. Владимир, ВлГУ, 2019.
19. В. Г. Журавлев, *Переключающиеся торические развертки и множества ограниченного остатка*. — Зап. научн. семин. ПОМИ **392** (2011), 95–145.
20. В. Г. Журавлев, *Многогранники ограниченного остатка*. — Математика и информатика, 1, К 75-летию со дня рождения Анатолия Алексеевича Карацубы, Совр. пробл. матем., **16**, МИАН, Москва, 2012, 82–102.
21. Е. С. Федоров, *Начала учения о фигурах*, Москва, 1953.
22. Г. Ф. Вороной, *Собрание сочинений*, том 2. Киев, 1952.

Zhuravlev V. G. Inflation and deflation of the karyon tilings.

The substitution transformations of inflation and deflation are defined for the karyon tilings  $\mathcal{T}(v)$  of multidimensional tori  $\mathbb{T}^d$ . Such tilings  $\mathcal{T}(v)$  consist of parallelepipeds and are generated by its karyons. Stars  $v$ , sets of  $d + 1$  vectors in the space  $\mathbb{R}^d$ , are frames of the karyons. The interest in karyon tilings is due to their connections with multidimensional continued fractions.

Владимирский государственный университет  
пр. Строителей, 11, 600024 Владимир, Россия  
E-mail: vzhuravlev@mail.ru

Поступило 31 мая 2023 года